

- [10] 赵艳娥, 张龙江, 周长圣, 等. 双源CT双能量肺灌注成像诊断急性肺栓塞的实验研究. 中华放射学杂志, 2009, 43(6):651-655.
- [11] 张帆, 杨立. 双能量CT Moidal非线性图像融合技术对CT图像质量的影响. 中华放射学杂志, 2011, 45(2):138-141.
- [12] Paul J, Bauer RW, Maentele W, et al. Image fusion in dual energy computed tomography for detection of various anatomic structures - Effect on contrast enhancement, contrast-to-noise ratio, signal-to-noise ratio and image quality. Eur J Radiol, 2011, 80(2):612-619.
- [13] 王琦, 刘响, 王丽佳, 等. 双能CT非线性融合技术提高门静脉血管图像质量. 中国医学影像学杂志, 2014, 22(6):427-430.
- [14] 薛华丹, 刘炜, 孙昊, 等. 第二代双源CT双能扫描模式对胰腺癌的影像诊断价值初探. 中国医学科学院学报, 2010, 32(6):640-644.
- [15] Wang Q, Shi G, Liu X, et al. Optimal contrast of computed tomography portal venography using dual-energy computed tomography. J Comput Assist Tomogr, 2013, 37(2):142-148.
- [16] 刘杰, 高剑波, 张永高, 等. 双源CT非线性融合技术联合低流率注射对比剂行主动脉成像的可行性. 中华放射学杂志, 2014, 48(6):505-506.

## Ultrasound in diagnosis of urachal carcinoma: Case report 超声诊断脐尿管癌1例

周爱云, 郭素萍

(南昌大学第一附属医院超声科, 江西南昌 330006)

[Key words] Urachal carcinoma; Ultrasonography

[关键词] 脐尿管癌; 超声检查

DOI: 10.13929/j.1003-3289.2016.08.032

[中图分类号] R445.1; R737.1 [文献标识码] B

[文章编号] 1003-3289(2016)08-1271-01

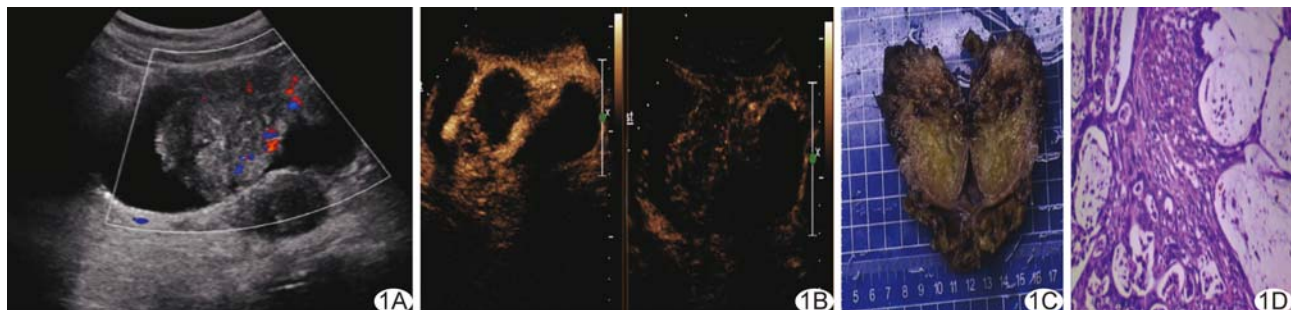


图1 脐尿管癌 A. 常规超声图像; B. CEUS图像; C. 大体标本; D. 病理图(HE, ×200)

患者女, 44岁, 尿痛、肉眼血尿, 伴下腹痛2月余。尿常规: RBC 3 722.4/ $\mu$ L。常规超声: 膀胱尖探及6.0 cm×4.6 cm不均质低回声团, 边界清楚, 形态不规则, 凸向膀胱腔内外, 腔外侧呈鸟嘴样向上延伸, 内可见血流信号(图1A); CEUS: 与周围正常膀胱壁对比, 肿块动脉期呈不均匀低增强, 静脉期同步消退, 浸润膀胱壁(图1B); 超声检查提示脐尿管来源恶性占位性病变。行腹腔镜脐尿管癌根治性切除术, 术中见: 膀胱尖部大小约6 cm×5 cm肿块与脐尿管相连。大体标本切面呈灰黄色黏冻样(图1C)。镜下见: 肿瘤细胞呈不规则腺管状, 腺腔内及周

围可见丰富的黏液形成, 间质血管增生、扩张、充血(图1D)。病理诊断: 脐尿管黏液腺癌。

**讨论** 脐尿管是胚胎期胎儿膀胱尖部与脐之间相连接的管道, 出生后自行闭锁为脐正中韧带, 未闭锁的脐尿管易发脐尿管囊肿、脐尿管憩室、脐尿管瘘、脐尿管癌等病变。约90%的脐尿管癌为腺癌, 多见于脐尿管与膀胱交界处。脐尿管癌早期诊断较困难, 晚期易发生浸润或转移, 预后差。早期临床症状有下腹痛、血尿等, 缺乏特异性, 需与膀胱癌相鉴别。膀胱癌好发于膀胱三角区及侧壁, 多为实性, 向膀胱腔内生长多见。脐尿管癌多为囊性或囊实性, 多位于膀胱尖部, 向腔内外凸起。膀胱癌CEUS动脉期呈均匀高增强, 静脉期消退快, 而脐尿管癌动脉期呈不均匀低增强, 静脉期同步消退。常规超声联合CEUS对临床早期诊断脐尿管癌具有重要价值。

[第一作者] 周爱云(1960—), 女, 江西南昌人, 学士, 主任医师。

E-mail: 411525626@qq.com

[收稿日期] 2016-01-28 [修回日期] 2016-04-03